



Vlaanderen
is omgeving



Emissiereductiepotentieel van hybride voertuigen bestemd voor de weg

 **Eindrapport**

**DEPARTEMENT
OMGEVING**

omgevingvlaanderen.be

EMISSIEREDUCTIEPOTENTIEEL VAN HYBRIDE VOERTUIGEN BESTEMD VOOR DE WEG

Deze studie beschrijft de resultaten van een herziening voor de emissiefactoren voor plug-in hybride elektrische voertuigen (PHEV) bestemd voor de weg. Hiervoor zijn we op drie vlakken te werk gegaan; eerst is via een literatuuronderzoek nagegaan wat er geleerd kan worden uit wetenschappelijk onderzoek dat elders werd gevoerd naar dit onderwerp. Daarnaast hebben we via een eigen monitoringscampagne PHEV's geanalyseerd tijdens hun dagelijks gebruik en dit gedurende een periode van bijna twee maanden. Aan de hand van de inzichten die hieruit voortvloeiden werden tot slot virtuele PHEV's gemodelleerd met het oog op het in kaart brengen van realistische emissiefactoren en op potentiële technologische optimalisaties op korte tot middellange termijn. Op basis van deze drie deelonderzoeken werden nieuwe emissiefactoren berekend voor zowel koolstofdioxide (CO₂) als de pollutanten stikstofoxiden (NO_x), koolstofmonoxide (CO), vluchtige organische stoffen (VOS) en fijnstof (PM). Ook biedt dit rapport een update van de emissiefactoren voor de nieuwste conventionele personenwagens en inzichten in de energetische consumptie van conventionele en plug-in personenwagens, op basis van COPERT versie 5.3.

Naast een focus op de personenwagenvloot werd er eveneens een simulatiemodel gebouwd voor een seriële plug-in hybride elektrische stadsbus, welke tot op heden elders nog niet werd ontwikkeld. Dit laat ons toe om belangrijke inzichten te verwerven in het potentieel van de inzet van dit type stadsbussen.

Dit rapport bevat de mening van de auteur(s) en niet noodzakelijk die van de Vlaamse Overheid.

COLOFON

Verantwoordelijke uitgever

Peter Cabus
Departement Omgeving
Vlaams Planbureau voor Omgeving
Koning Albert II-laan 20 bus 8, 1000 Brussel
vpo.omgeving@vlaanderen.be
www.omgevingvlaanderen.be

Projectleider

Natacha Claeys

Auteurs

Nils Hooftman – Vrije Universiteit Brussel
Norbert Ligterink – TNO
Mieke Paalvast – TNO
René van Gijlswijk – TNO
Eef Voogd – TNO
Giorgos Mellios – Emisia
Mamarikas Sokrates – Emisia
Kapetanos Nikos – Emisia
Zacharias Samos – Emisia
Wim Verhoeve – Emisia

Wijze van citeren

Hooftman N., Ligterink N., Paalvast M., van Gijlswijk R., Voogd E., Mellios G., Mamarikas S., Kapetanos N., Samos Z., Verhoeve W., (2020), Emissiereductiepotentieel voor hybride voertuigen bestemd voor de weg, uitgevoerd in opdracht van *Vlaams Overheid – Departement Omgeving – Afdeling Energie, Klimaat en Groene Economie*.

PARTNERS



1 INLEIDING

De wegtransport draagt aanzienlijk bij tot uitstoot van broeikasgassen. Om de klimaatdoelstellingen te bereiken dient ook deze sector serieuze inspanningen te leveren in de (nabije) toekomst om te voorkomen dat ons klimaat in negatieve zin evolueert. Dit is een globaal probleem, dat mede ook regionale oplossingen vraagt. Om die reden legt de Europese Commissie haar lidstaten doelstellingen op om vóór 2050 naar een klimaat-neutrale samenleving te evolueren. Naast een invloed op het klimaat draagt wegtransport ook bij tot de ondermaatse luchtkwaliteit, in het bijzonder in dichtbevolkte gebieden. Ook hiervoor wordt op Europees niveau bepaald in welke mate nieuwe voertuigen schadelijke polluenten mogen uitstoten, met name door emissienormen op te leggen aan constructeurs. Op het lokale, Vlaamse niveau stippelt men vervolgens een beleid uitgestippeld om de technologische mix van aandrijvingsmogelijkheden binnen de transportsector en voertuigvolumes in een bepaalde richting te sturen om zo tot de gewenste broeikasgas- en polluentenreducties te komen. Het is echter van belang om na te gaan in welke mate nieuwe technologieën in werkelijkheid geschikt zijn om voorgedragen te worden als een duurzamer alternatief.

Om de impact van plug-in hybride elektrische voertuigen (PHEV) na te gaan op Vlaamse schaal, wordt in deze studie een overzicht gegeven van welk onderzoek reeds naar hun werkelijke emissiefactoren werd gevoerd en dit zowel voor personenwagens, lichte vracht als vrachtwagens en bussen. Hiaten in de vakliteratuur worden geadresseerd met een eigen meetcampagne en simulaties die (onder meer) op basis van de campagne inzicht geven in de technologische evoluties die we vanuit het consortium haalbaar achten om in Vlaanderen significante stappen te zetten in een stelselmatige decarbonisatie van haar vloot. Plug-in hybride voertuigen hebben de mogelijkheid om op elektriciteit uit het lichtnet te rijden, zodat er lokaal geen uitstoot van CO₂ of schadelijke stoffen plaatsvindt. Ook worden deze voertuigen gezien als de wegbereider voor de elektrificatie van transport en mobiliteit. Met deze studie onderzoeken we het potentieel van deze technologie en in welke mate Vlaanderen hierop moet inzetten op korte en middellange termijn.

1.1 EUROPESE CO₂ DOELSTELLINGEN STIMULEREN VLOOT-ELEKTRIFICATIE

Om de marktpenetratie van zowel plug-in hybride als puur elektrische personenwagens en lichte bedrijfswagens te bespoedigen, heeft de Europese Commissie tot op heden twee mechanismen uitgewerkt. Deze dienen als hefboom om constructeurs te doen investeren in elektrische aandrijflijnen, hetgeen beloond wordt via de berekening van het gewogen gemiddelde van de CO₂ uitstoot van hun verkochte voertuigen. Dit is relevant gezien ze voor zowel het jaar 2015 als 2021 CO₂ doelstellingen moeten halen, zijnde:

- Gemiddeld 130 g/km voor personenwagens tegen 2015 en 95 g/km tegen 2021, waarvan 95% reeds met ingang van 2020 (zie Verordening (EG) 443/2009), en;
- Gemiddeld 175 g/km voor lichte bedrijfswagens tegen 2017 en 147 g/km vanaf 2020 (zie Verordening (EU) 510/2011)

Deze waarden worden gecorrigeerd voor het gemiddelde gewicht van de geregistreerde voertuigen per fabrikant. Die correctie is echter beperkt om perverse stimulansen voor zwaardere voertuigen te voorkomen. Voor de jaren 2025 en 2030 worden er eveneens doelen vooropgesteld die verwijzen naar de referentiesituatie in 2021. Dit nieuwe startpunt is nodig vanwege de overgang naar de nieuwe WLTP test voor CO₂ waarden. Zo dienen de constructeurs zich te houden aan de streefcijfers die zijn opgenomen in Verordening (EU) 2019/631, goed voor een minimale reductiefactor van:



1.2 EXTRA MAATREGELEN OM AAN DE DOELSTELLINGEN TE VOLDOEN

Autofabrikanten hebben nog andere mogelijkheden om aan de CO₂-regelgeving te voldoen. Enerzijds vaardigt de Commissie emissiekredieten uit voor technologische innovaties die CO₂-reducties opleveren welke gerealiseerd worden buiten de officiële testprocedure (zogenaamde ‘*off-cycle*’ emissies). Dit zijn de zogenaamde ‘eco-innovaties’. Denk hierbij aan het isoleren van het motorcompartiment om diens warmte beter vast te houden en zo de efficiëntie te verhogen, led-technologie of efficiëntere alternatorsystemen. Vereisten voor zulke systemen zijn dat ze verifieerbare en reproduceerbare resultaten moeten opleveren. De toekenning van CO₂-emissiereducties via deze weg blijft echter beperkt tot maximum 7 g/km en dit zowel voor personenwagens als lichte bedrijfswagens. De mogelijkheden om eco-innovaties toe te passen voor de CO₂-streefwaarde wordt beperkt uitgebreid met procedures voor airconditioning. De procedures zijn echter complex en specifiek.

Een bijkomstig alternatief is dat fabrikanten aan groepsvorming (*pooling*) gaan doen. Deze maatregel is echter beperkt in de tijd, namelijk tot maximum vijf jaar. Een voorbeeld van zulke groepsvorming is het samengaan van Fiat Chrysler (de slechtste leerling van de klas anno 2019 inzake haar vlootgemiddelde CO₂ uitstoot, in het bijzonder door de Amerikaanse modellen) met Tesla, om zo een miljardenboete in 2021 te vermijden/in te perken. In de praktijk zien we ook dat fabrikanten verder gaan dan het vormen van een tijdelijke groep, nl. door via overnames nieuwe consortia te creëren. Denk hierbij aan de recente overname van Fiat Chrysler door de PSA-groep, die eerder in 2019 al Opel overnam.

1.3 PLUG-IN HYBRIDE ELEKTRISCHE VOERTUIGEN IN VLAANDEREN

Plug-in hybride voertuigen worden dus voorgedragen door het Europees beleid, zij het onder strengere voorwaarden dan voordien. Het potentiële succes van deze technologie als geschikt alternatief voor de conventionele verbrandingsmotor zal echter moeten blijken uit een aantal aspecten. Voor overheden rijst vooral de vraag of plug-ins wel zo ‘groen’ zijn als ze worden geafficheerd, terwijl bij de consument vooral een afweging zal gemaakt worden of de meerprijs t.o.v. een conventioneel model, dan wel de minprijs t.o.v. een volledig elektrisch model, gerechtvaardigd is. De drie belangrijkste redenen die genoemd worden om de plug-in hybride in Europa te stimuleren zijn:

1. Als een wegbereider (gangmaker) voor volledige elektrificatie van wegverkeer en rendabel maken van laadinfrastructuur door hogere bezetting.
2. Als een alternatief voor waar het grootste deel van de ritten elektrisch gereden kunnen worden, zonder het zware gewicht van de batterij van een 100% elektrisch voertuig, die nodig is om *alle* ritten elektrisch te kunnen rijden.
3. Een aandrijflijn waarmee de verbrandingsmotor op een efficiëntere manier draait, met een lager verbruik en CO₂ uitstoot.

In dit rapport wordt enerzijds een overzicht gegeven van wat de vakliteratuur ons leert aangaande de uitstoot van schadelijke pollutanten door hybride voertuigen die bestemd zijn voor de weg, terwijl we anderzijds met eigen veldwerk en simulaties de gaten opvullen die we in de literatuur vaststellen. De inzichten die we hiermee verwerven zijn belangrijk voor de opmaak van het Vlaamse Emissie-inventaris voor wegvoertuigen, die passen in het groter geheel van de transportsector, welke jaarlijks dient te worden gerapporteerd in het kader van de Europese NEC-richtlijn (of de *National Emission Ceilings Directive*) (VMM 2018). Hiernaast dienen de Europese lidstaten ook op jaarbasis hun totale emissie van CO₂ te rapporteren in het kader van klimaatdoelstellingen. Zo wordt voor elke sector een jaarbalans opgemaakt, alsook voor het wegverkeer. In tegenstelling tot de industrie valt het wegtransport niet onder de regelgeving van emissiehandel (ETS) maar onder de non-ETS regelgeving.



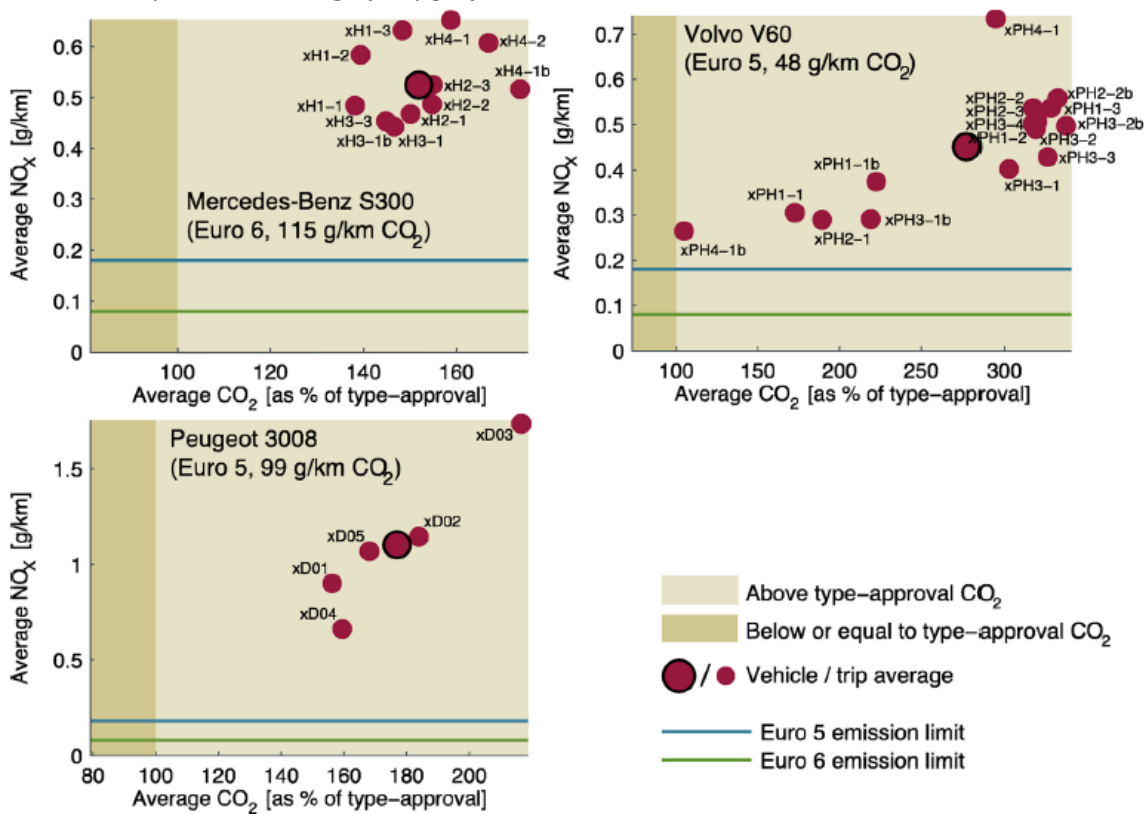
een hybride bus gemodelleerd om voor realistische verkeerssituaties na te kunnen gaan in welke mate zij kunnen bijdragen aan een reductie van schadelijke polluenten d.m.v. hun mogelijkheid tot rijden in *zero-emissiemodus*. In geval van zwaar vervoer, zoals voor vrachtwagens en bussen, is de simulatie van hun werking een belangrijke stap in het ontwikkelingsproces, gezien de hoge productiekosten die gepaard gaan met deze voertuigen.

ICE power (peak) (kW)	158	150	120
transmission	six-speed automatic	seven-speed automatic	six-speed automatic
Emission Tests and Simulation			
chassis dynamometer testing	yes (NEDC and WLTP)	yes (NEDC and WLTP)	no
on-road testing with PEMS	yes (16 trips)	yes (12 trips)	yes (5 trips)
NO _x after-treatment simulation	yes (LNT and SCRf)	no	no

^aDOC, diesel oxidation catalyst; DPF, diesel particulate filter; EGR, exhaust gas recirculation; WLTP, Worldwide harmonized Light vehicles Test Procedure.

2.4.3 Resultaten:

Waar de rollenbanktests resulteerden in aanvaardbare emissies van de gereguleerde pollutanten (CO, NO_x, THC en PM), zowel volgens de NEDC als de WLTC, lagen de praktijkemissies voor NO_x volgens de PEMS tests vele malen boven de wettelijke limiet. Dit is te zien in Figuur 9. De gemiddelde emissiefactoren per testvoertuig zijn opgelijst in Tabel 6.

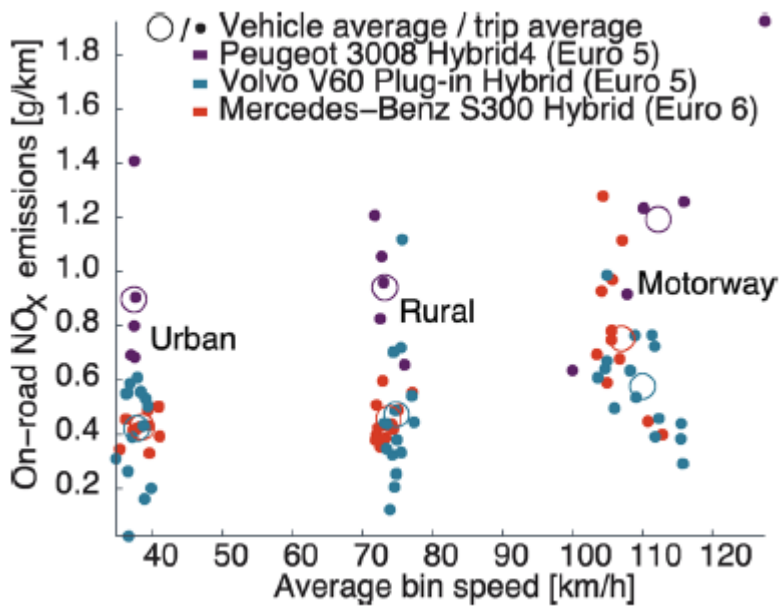


Figuur 9: Overzicht van de NO_x emissiefactoren voor de geteste voertuigen

Tabel 6: Overzicht van de emissiefactoren voor NO_x en CO₂, aangevuld met de factor waarmee ze de testlimiet overschrijden

			NO _x [mg/km]	Overschrijdings-factor	CO ₂ [g/km]	Overschrijdings-factor
Mercedes-Benz S300	Bluetec		520	6,5	175	1,52
Hybrid (Euro 6)						
Volvo V60 PHEV			450	2,5	133	1,77
(Euro 5)						
Peugeot 3008 Hybrid4			1100	6,1	175	1,78
(Euro 5)						

Naast deze trippgemiddelden werd er ook gekeken naar de specifieke uitstoot per wegtype, waarbij een onderscheid is gemaakt tussen stedelijk, ruraal en snelweg rijden. Dit is te zien in Figuur 10. De gemiddelde waarden per wegtype zijn dan weer terug te vinden in Tabel 7.



Figuur 10: Overzicht van de stedelijke, rurale en snelwegemissies van NO_x (Bron: Franco et al. 2016)

Tabel 7: RDE emissiefactoren voor NO_x per voertuigmodel

NO _x (mg/km)	RDE			
	Overall	Urban	Rural	Highway
MB S300	520	440	420	750
Volvo V60	450	430	450	570
Peugeot 3008	1100	900	920	1200

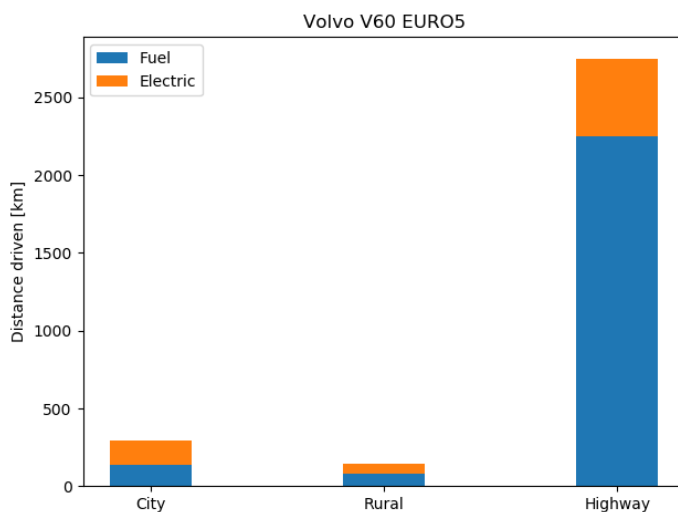
2.4.4 Conclusies

Hoewel het potentieel er is voor PHEV-modellen om aanzienlijk minder brandstof te verbruiken en daaraan gelinkt ook minder pollutanten uit te stoten, wordt ook in deze studie aangetoond dat dit potentieel ondergraven kan worden door de manier waarop het voertuig wordt gebruikt, hoe de hybride aandrijving wordt aangestuurd (softwarematig) en hoe de NO_x-emissiebestrijdingsmiddelen werden gekalibreerd. Deze kalibraties, waaronder we bijvoorbeeld de dosering van AdBlue of de aansturing van de uitlaatgasrecirculatie kunnen verstaan, wordt in de studie aangehaald als een grotere determinant voor de toekomstige overeenkomst met de emissielimiet voor NO_x tijdens RDE tests voor typegoedkeuring dan dat een verdere hybridisatie van de aandrijving. Zulke kalibratie maakt het verschil tussen Euro 6a, 6b, 6c en Euro 6d(-TEMP).

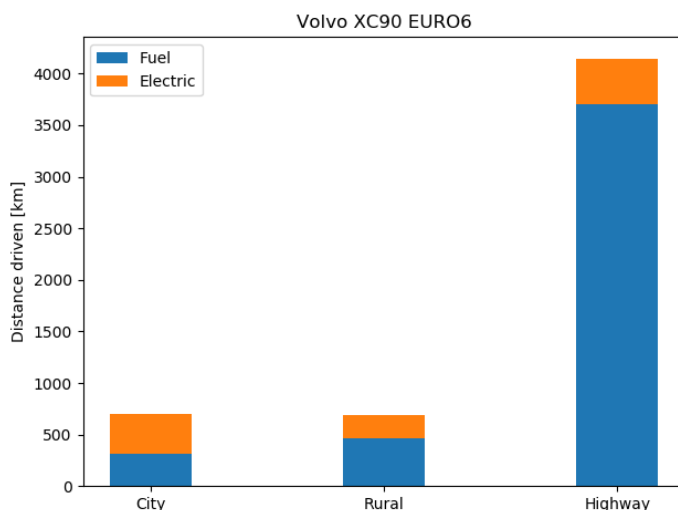
2.4.5 NO_x emissiefactoren

Deze werden aangehaald in Tabel 6 en Tabel 7.

voor rijden op stadswegen, buitenwegen en snelwegen. Een algemene Voor elk voertuig geldt ongeveer dezelfde verdeling, en kan daarom als generiek beschouwd worden. Een gewogen gemiddelde voor alle wegtypes en voor alle testvoertuigen komt neer op zo'n 25%.



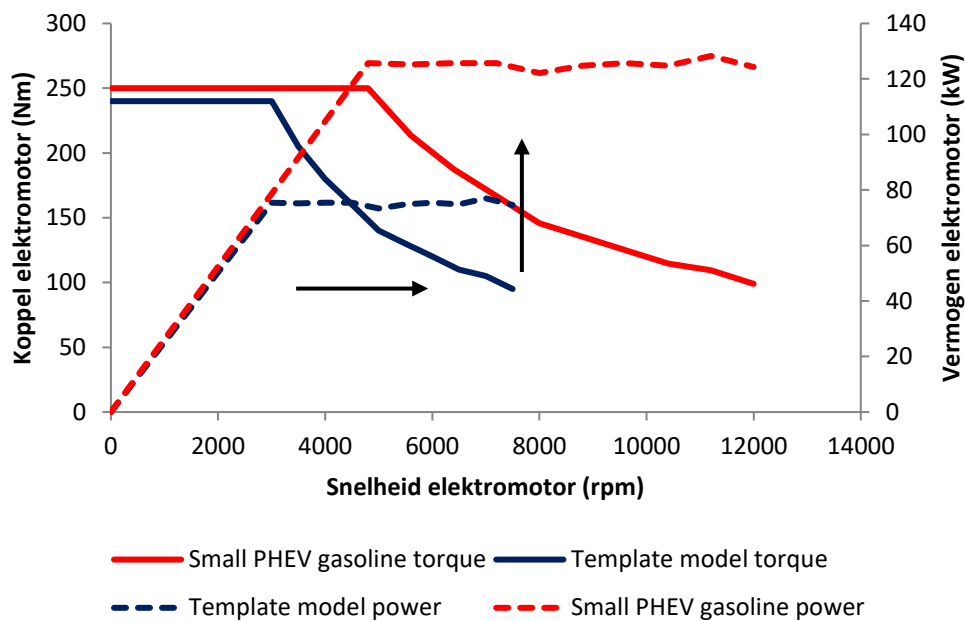
Figuur 20: De afgelegde afstand in kilometers waarbij de Volvo V60 elektrisch heeft gereden (oranje) en op diesel heeft gereden (blauw), verdeeld in stadswegen, buitenwegen en snelwegen.



Figuur 21: De afgelegde afstand in kilometers waarbij de Volvo XC90 elektrisch heeft gereden (oranje) en op benzine heeft gereden (blauw), verdeeld in stadswegen, buitenwegen en snelwegen.

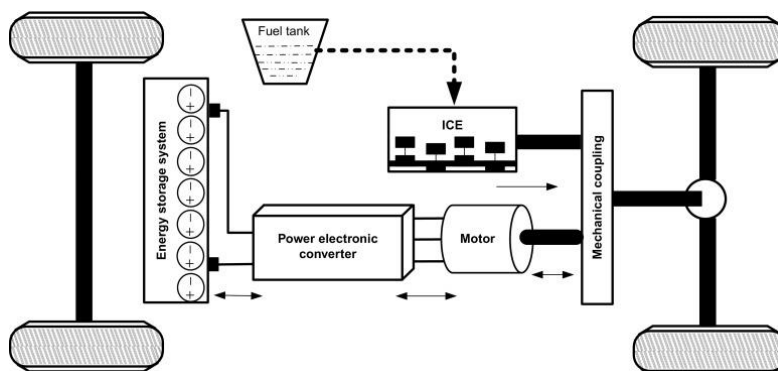
4.2.1.4 Ontwikkeling van het gemiddeld voertuig

Gemiddelde specificaties, samen met generieke *mappings* voor brandstofverbruik, geschaalde koppelen en vermogenscurves voor een verbrandingsmotor, geschaalde batterijkarakteristieken en geschaalde vollastkarakteristieken voor een elektromotor werden gebruikt om de simulatiemodellen te maken voor vier gemiddelde segmenten. Merk op dat in het kleine segment slechts één voertuigmodel in de databank bestond. Verder valt op dat we voor deze studie geen doorrekening maken van een kleine of medium PHEV diesel, gezien we hiervoor binnen het consortium geen toekomst meer zien. De *mapping* voor brandstofverbruik werd geselecteerd op basis van de motorverplaatsing van het gesimuleerde voertuig. De volledige belastingscurve van de elektromotor is geschaald, zoals weergegeven in Figuur 35 om het maximale vermogen en koppel van elk gemiddeld voertuig te matchen.

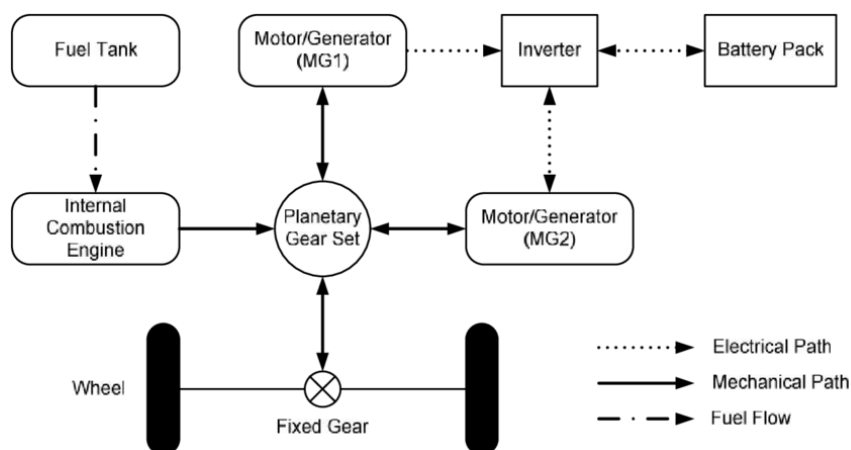


Figuur 35: Verschaling van de vollastcurve van de elektromotor, met op de primaire Y-as de verwijzing naar de continue lijnen en op de secundaire Y-as naar de stippellijnen.

Voor de gesimuleerde voertuigen maken we gebruik van de twee meest populaire hybride architecturen, nl. de parallelle en de zogenaamde *power-split*. In een parallelle configuratie zijn de verbrandingsmotor en de elektromotor parallel geschakeld, zoals weergegeven in Figuur 36. Hierdoor kunnen zowel de verbrandingsmotor als de elektromotor het voertuig afzonderlijk aandrijven. In het geval van een *power-split* aandrijflijn is er sprake van een complex planetair tandwielstelsel dat de vermogens tussen de twee krachtbronnen verdeelt, zoals weergegeven in Figuur 37.



Figuur 36: Parallelle hybrideconfiguratie (Bron: Rashid 2017)



Figuur 37: Power-split opstelling (Bron: Wu, Boriboonsomsin, and Barth 2014)

De kenmerken van de gemiddelde worden weergegeven in Tabel 20. De verwachte toekomstige veranderingen in deze kenmerken worden verderop in dit hoofdstuk toegelicht (zie paragraaf 4.3).

Tabel 20: Gemiddelde PHEV-karakteristieken, aangevuld met een spreiding per parameter om toe te laten dat toekomstige modellen volgens deze manier kunnen onderscheiden worden (gebaseerd op COPERT).

Voertuig segment	Brandstof type	Config.	Gewicht (kg)	Luchtweerstand-coëfficiënt	Batterij-capaciteit (kWh)	Motorvermogen (kW)*	Vermogen elektromotor (kW)	Modellen
Klein	Benzine	Parallel	1.412 (1.390-1.480)	0,29	27,2	28	125	BMW i3*
Medium	Benzine	Power-split	1.560 (1.500-1.625)	0,25 (0,23-0,32)	3,9 (3,2-10,9)	72,8 (63-115)	97,1 (44.5-111)	Toyota Prius
Groot	Benzine	Power-split	1.982 (1.560-2.635)	0,307 (0,25-0,36)	10,8 (5-12)	148,3 (99-410)	97 (60-130)	Simulatie
Medium	Benzine	Parallel	1.672 (1.500-1.880)	0,292 (0,23-0,32)	9,1	102,1	102,1	VW Golf GTE
Groot	Benzine	Parallel	1.982 (1.560-2.635)	0,307 (0,25-0,36)	10,8 (5-12)	148,3 (99-410)	97 (60-130)	Mitsubishi Outlander
Groot	Diesel	Parallel	2.093 (1.949-2.785)	0,3 (0,29-0,34)	12,5 (8-15)	164,8 (158-190)	59,3 (50-94)	Volvo V60 Twin Engine

*De BMW i3, een seriële hybride, is de enig beschikbaar kleine PHEV

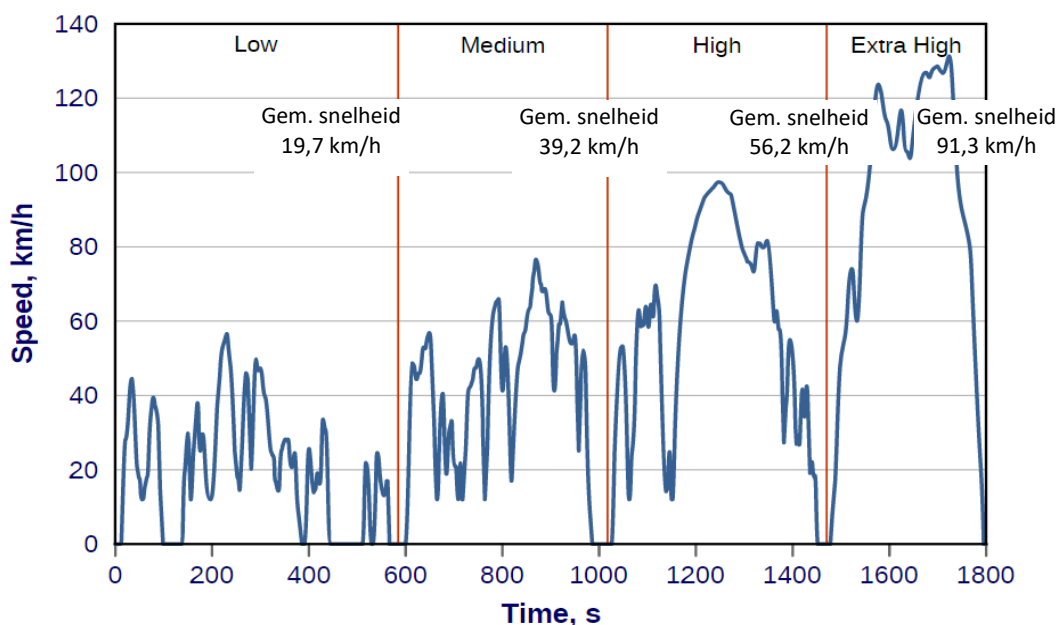
Het voertuiggewicht en motorvermogen kwamen rechtstreeks uit de EEA CO₂ monitoring databank (EEA 2019). Alle andere parameters zijn ontleend aan openbare bronnen (bijvoorbeeld officiële OEM-websites, brochures, enz.). Merk op dat de EEA CO₂ monitoring databank geen andere kleine PHEV's bevat dan de BMW i3, welke echter een serie-hybride model is. Simulaties in Tabel 21 zijn geselecteerd om het elektrische energieverbruik (EC) en brandstofverbruik (FC) van de gemiddelde voertuigen door te kunnen rekenen. De simulaties zijn uitgevoerd met twee verschillende waarden voor de initiële laadstatus (SoC) van de batterij. In het eerste geval wordt gestart met een hoge SoC en worden de resultaten gebruikt voor de berekening van het energieverbruik, omdat het voertuig dan voornamelijk rijdt met behulp van de elektromotor in de zogenaamde *charge-depleting* (CD) modus. In het tweede geval starten we met een lage SoC opdat we het brandstofverbruik kunnen berekenen, gezien het

voertuig dan in *charge-sustaining* (CS) modus werkt. Alle simulatieresultaten werden uitgevoerd onder warme startomstandigheden. De gebruikte testcycli zijn de WLTC, de CADC (Common Artemis Driving Cycle) en de RDE-test (*Real Driving Emissions*). De CADC bestaat uit drie subcycli, namelijk de Artemis Urban, Rural en Motorway (André 2004). De RDE-cyclus heeft ook een stads-, een plattelands- en een snelweggedeelte. Voor de ontwikkeling van emissiefactoren van PHEV's worden simulatie-resultaten van de bovenstaande rijcycli gebruikt, zoals dit gebruikelijk is voor de bepaling van alle emissiefactoren volgens het principe van COPERT.

Tabel 21: Simulatiescenario's voor de gemiddelde PHEV's

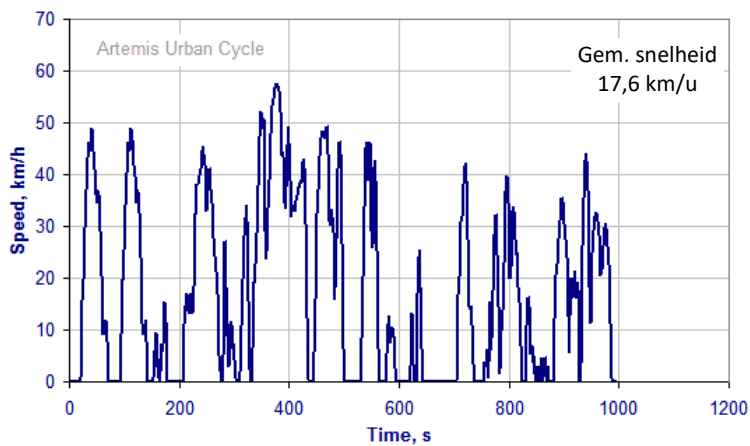
Branstoftype	Voertuigsegment	Configuratie	Testcyclus
Benzine	Klein	Power-split	1. WLTC high & low initial SOC ²
	Medium	Power-split	2. Artemis Urban high & low initial SOC
	Groot	Power-split	3. Artemis Rural high & low initial SOC
	Medium	Parallel	4. Artemis Highway high & low initial SOC
	Medium	Parallel	5. RDE Urban 1 high & low initial SOC
Diesel	Groot	Parallel	6. RDE Urban 2 high & low initial SOC
			7. RDE Rural high & low initial SOC
			8. RDE Motorway high & low initial SOC

De hierboven beschreven testcycli worden grafisch weergegeven in Figuur 38 tot en met Figuur 42. Het WLT-rijprofiel (Figuur 38) is verdeeld in 4 fasen naargelang de voertuigsnellheid: laag, gemiddeld, hoog en extra hoog. Deze rijfasen simuleren respectievelijk stedelijke, voorstedelijke, landelijke en snelweg rijomstandigheden. Door de bovenstaande rijcycli op te splitsen in subcycli kunnen emissiefuncties worden geproduceerd door meer combinaties van emissies en gemiddelde snelheid te bieden (zie ook de resultaten in paragraaf 4.2.3) en is consistent met de methodologie voor de productie van emissiefactoren voor alle voertuigcategorieën en technologieën in COPERT.

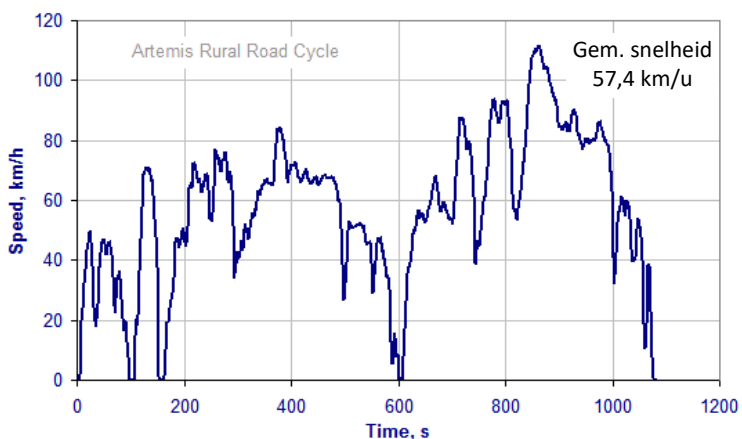


Figuur 38: WLTC snelheidsprofiel fasen (Bron: Dieselnet)

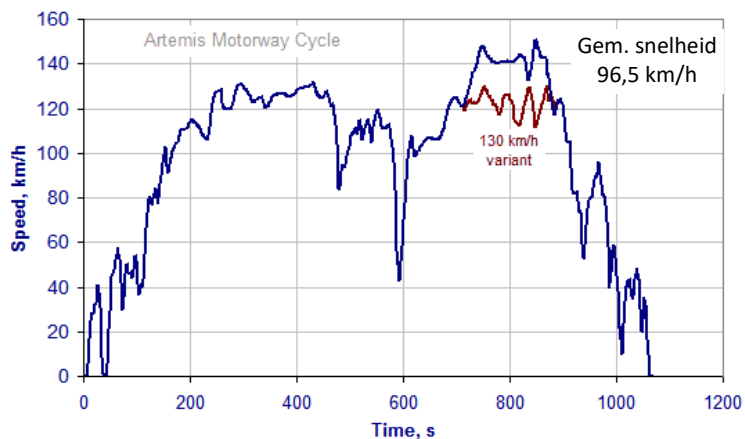
² De 'high' en 'low' SOC komen respectievelijk overeen met een laadniveau van de batterij van 90% en 10%.



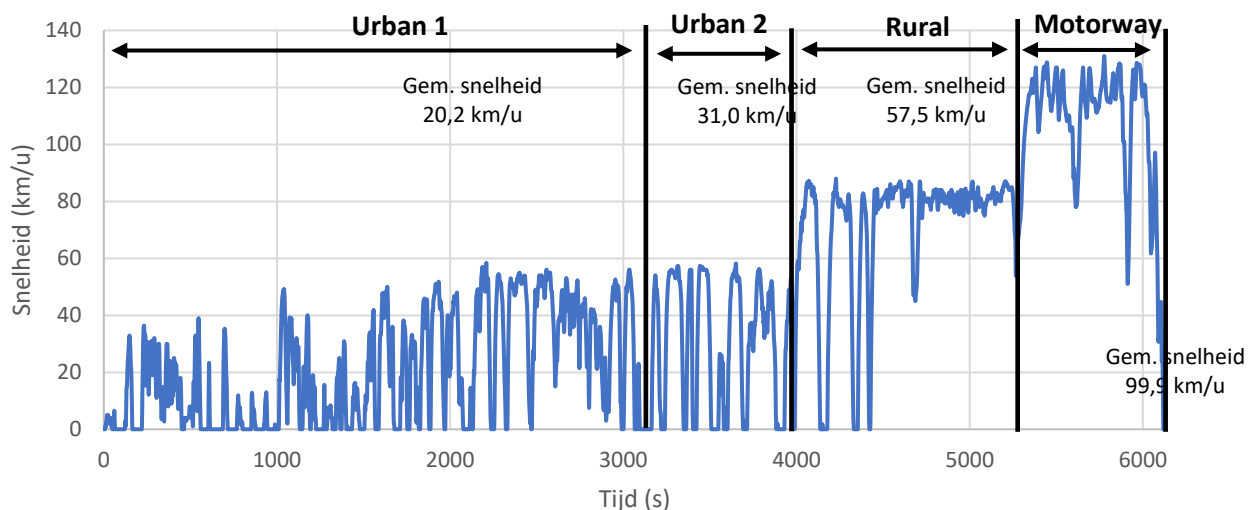
Figuur 39: Artemis stadsrijprofiel



Figuur 40: Artemis rijprofiel voor rurale wegen



Figuur 41: Artemis rijprofiel voor snelwegen



Figuur 42: The RDE cyclus

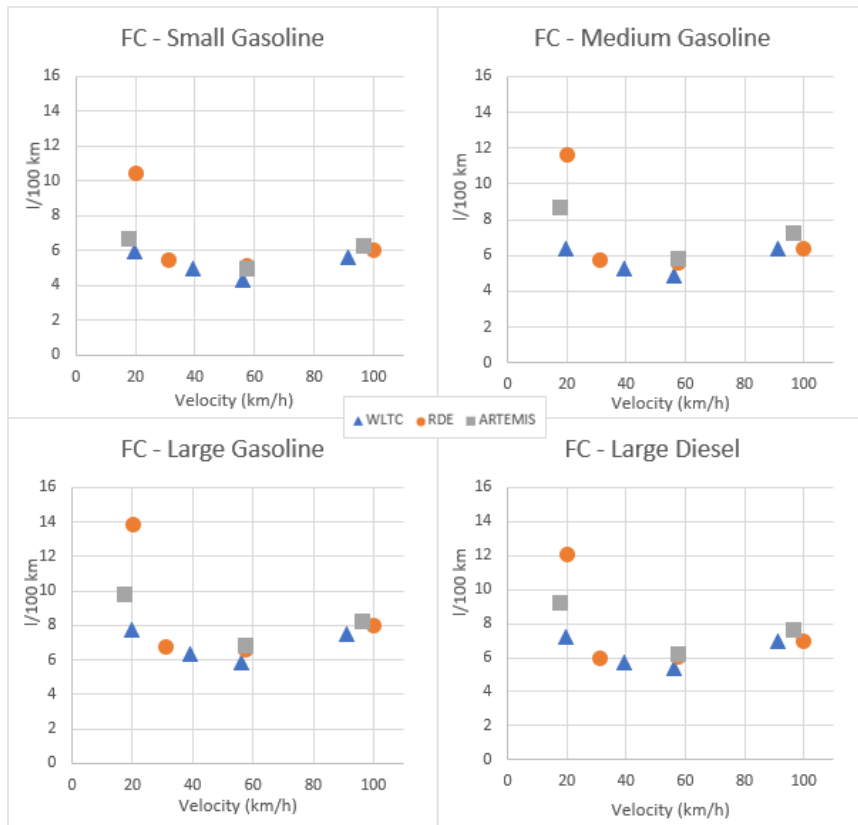
4.2.2 Resultaten

Na het uitvoeren van alle simulaties werden de resultaten verzameld en geanalyseerd. In de CD-modus wordt het elektrische energieverbruik berekend door de totale verbruikte elektrische energie te delen door de totale afstand van de gesimuleerde rit. Op vergelijkbare wijze wordt het brandstofverbruik berekend door de totale verbruikte brandstofmassa te delen door de totale afstand van de rit.

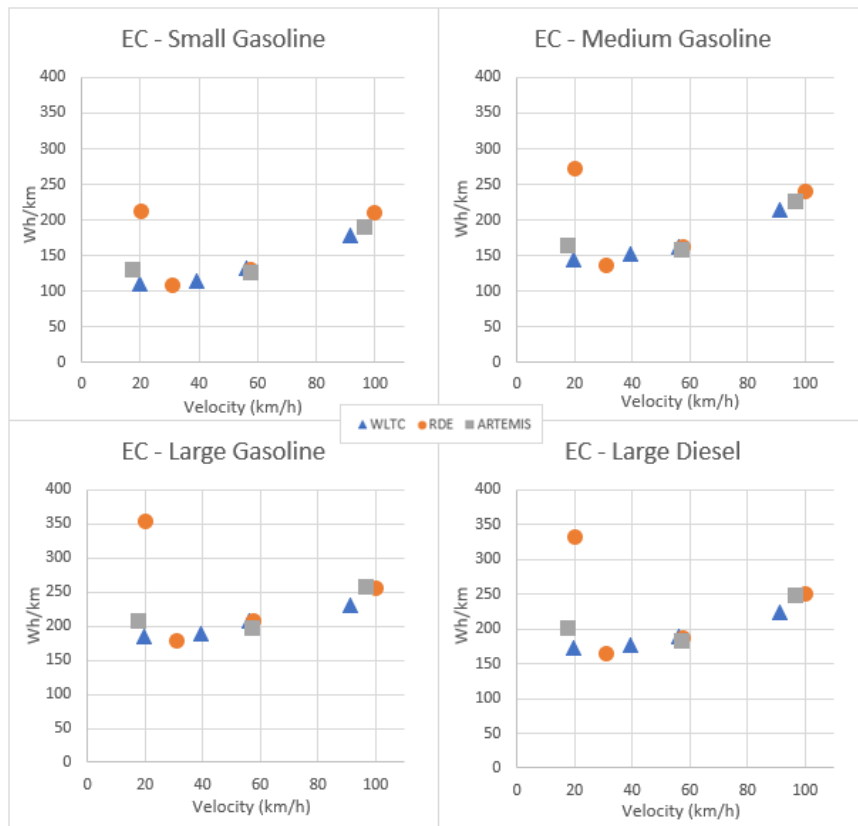
De *power-split* configuratie werd aanvankelijk gebruikt toen PHEV's voor het eerst op de markt verschenen, die werd gedomineerd door één PHEV-model (nl. de Toyota Prius). Sindsdien zijn steeds meer fabrikanten met PHEV-modellen met een parallelle configuratie op de proppen gekomen, terwijl geleidelijk aan marktaandeel van *power-split* voertuigen sterk daalt. Zo blijkt uit de EEA-databank dat hun totale aantal jaarlijkse registraties in de periode 2010-2017 slechts 3% van alle PHEV-voertuigen bedroeg. De resultaten in de onderstaande tabellen en cijfers weerspiegelen het gewogen gemiddelde van de verkoopresultaten van *power-split*- en parallelle PHEV's. Er moet opgemerkt worden dat het verschil in emissies tussen de twee configuraties erg klein is. Ter indicatie: de *power-split* voertuigen vertoonden ongeveer een 10% hoger energieverbruik dan het gemiddelde voertuig met parallelle aandrijflijn.

De resultaten van het elektrische energie (enkel CD-modus) en brandstofverbruik (enkel CS-modus) PHEV's worden gepresenteerd in Figuur 43 en Figuur 44. Het gecombineerde energieverbruik (elektrisch + brandstof) in CD+CS-modes wordt weergegeven in Figuur 45. De verschillende punten in de grafieken komen overeen met het verbruik dat is genoteerd in de bovengenoemde rijcycli of delen daarvan. Gedetailleerde resultaten zijn vermeld in Gemiddelde snelheid van de fasen van elke cyclus. In de WLTC lage fase is de gemiddelde snelheid bijvoorbeeld 19,7 km/h. Op deze manier hebben we veel snelheid-energieverbruik punten gevonden om de snelheidsafhankelijke energieverbruik functie te berekenen.

Tabel 66, Tabel 67 en Tabel 68 in de appendix.



Figuur 43: Brandstofverbruik van de generieke PHEV's bij verschillende rijprofielen (enkel CS-modus)



Figuur 44: Elektrisch energieverbruik van PHEV bij verschillende rijprofielen (enkel CD-modus)

4.3.3 Resultaten

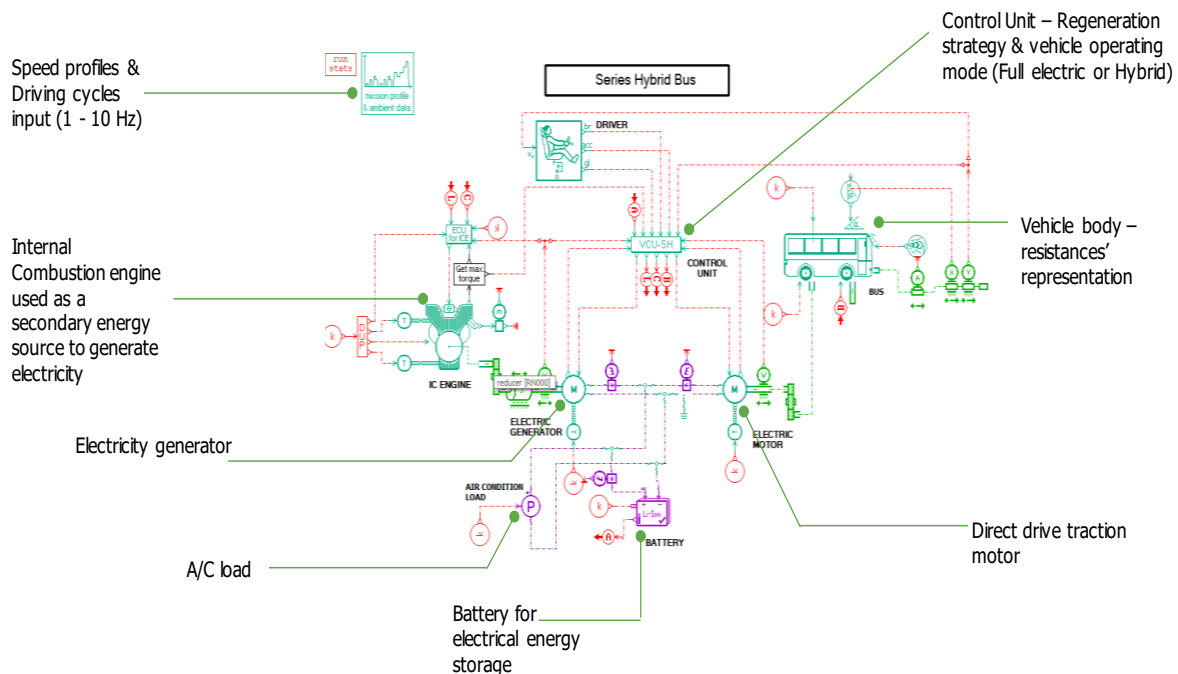
De resultaten tonen het relatief verschil in brandstof- (FC) en energieverbruik (EC) voor elk onderzocht scenario voor drie verschillende gemiddelde voertuigen. In Tabel 30, Tabel 31 en Tabel 33 worden de resultaten voor een grote benzine PHEV, een grote diesel PHEV en voor een middelgrote benzine PHEV dien overeenkomstig gepresenteerd.

Tabel 30: FC en EC voor een grote benzine PHEV

		FC (l/100km & % verschil van scenario 0)		FC (MJ/km & % verschil van scenario 0)		EC (Wh/km & % verschil van scenario 0)		EC (MJ/km & % verschil van scenario 0)	
Basis 1	Scenario 0	7,02	-	2,16	-	204,49	-	0,74	-
F₀	Scenario 1	6,93	-1,3%	2,13	-1,3%	201,81	-1,3%	0,73	-1,3%
	Scenario 2	6,77	-3,5%	2,08	-3,5%	199,90	-2,2%	0,72	-2,2%
	Scenario 3	6,54	-6,7%	2,01	-6,7%	191,47	-6,4%	0,69	-6,4%
F₂	Scenario 4	6,81	-2,9%	2,10	-2,9%	202,87	-0,8%	0,73	-0,8%
	Scenario 5	6,61	-5,7%	2,03	-5,7%	196,71	-3,8%	0,71	-3,8%
	Scenario 6	6,43	-8,4%	1,98	-8,4%	190,44	-6,9%	0,69	-6,9%
ICE	Scenario 7	6,39	-9,0%	1,96	-9,0%	204,49	0,0%	0,74	0,0%
	Scenario 8	5,86	-16,5%	1,80	-16,5%	204,49	0,0%	0,74	0,0%
	Scenario 9	5,41	-22,9%	1,66	-22,9%	204,49	0,0%	0,74	0,0%
Basis 2	Scenario 10	5,33	-24,1%	1,64	-24,1%	187,93	-8,1%	0,68	-8,1%
Gewicht	Scenario 11	5,31	-24,3%	1,63	-24,3%	187,92	-8,1%	0,68	-8,1%
	Scenario 12	5,29	-24,7%	1,63	-24,7%	187,97	-8,1%	0,68	-8,1%
	Scenario 13	5,28	-24,7%	1,62	-24,7%	188,04	-8,0%	0,68	-8,0%
El. Motor	Scenario 14	5,30	-24,4%	1,63	-24,4%	180,80	-11,6%	0,65	-11,6%
	Scenario 15	5,26	-25,0%	1,62	-25,0%	173,58	-15,1%	0,62	-15,1%
	Scenario 16	5,23	-25,4%	1,61	-25,4%	166,51	-18,6%	0,60	-18,6%
Combi	Scenario 20	6,12	-12,7%	1,88	-12,7%	193,08	-5,6%	0,70	-5,6%
	Scenario 21	5,30	-24,5%	1,63	-24,5%	175,21	-14,3%	0,63	-14,3%
	Scenario 22	4,58	-34,8%	1,41	-34,8%	153,70	-24,8%	0,55	-24,8%

Tabel 31: FC en EC voor een grote diesel PHEV

		FC (l/100km & % verschil van scenario 0)		FC (MJ/km & % verschil van scenario 0)		EC (Wh/km & % verschil van scenario 0)		EC (MJ/km & % verschil van scenario 0)	
Basis 1	Scenario 0	6,26	-	2,04	-	197,22	-	0,71	-
F₀	Scenario 1	6,21	-0,8%	2,02	-0,8%	194,53	-1,4%	0,70	-1,4%
	Scenario 2	6,08	-2,9%	1,98	-2,9%	189,70	-3,8%	0,68	-3,8%
	Scenario 3	5,90	-5,7%	1,92	-5,7%	183,02	-7,2%	0,66	-7,2%
F₂	Scenario 4	6,10	-2,5%	1,99	-2,5%	192,15	-2,6%	0,69	-2,6%
	Scenario 5	5,95	-4,9%	1,94	-4,9%	186,13	-5,6%	0,67	-5,6%
	Scenario 6	5,79	-7,5%	1,89	-7,5%	179,03	-9,2%	0,64	-9,2%
ICE	Scenario 7	6,02	-3,8%	1,96	-3,8%	197,22	0,0%	0,71	0,0%
	Scenario 8	5,80	-7,3%	1,89	-7,3%	197,22	0,0%	0,71	0,0%
	Scenario 9	5,60	-10,6%	1,82	-10,6%	197,22	0,0%	0,71	0,0%
Basis 2	Scenario 10	5,33	-14,8%	1,74	-14,8%	178,00	-9,7%	0,64	-9,7%
Gewicht	Scenario 11	5,31	-15,2%	1,73	-15,2%	176,89	-10,3%	0,64	-10,3%
	Scenario 12	5,28	-15,6%	1,72	-15,6%	175,79	-10,9%	0,63	-10,9%
	Scenario 13	5,27	-15,8%	1,72	-15,8%	175,42	-11,1%	0,63	-11,1%
El. Motor	Scenario 14	5,29	-15,6%	1,72	-15,6%	170,91	-13,3%	0,62	-13,3%
	Scenario 15	5,26	-16,0%	1,71	-16,0%	163,95	-16,9%	0,59	-16,9%
	Scenario 16	5,22	-16,7%	1,70	-16,7%	156,96	-20,4%	0,57	-20,4%
Combi	Scenario 20	5,81	-7,3%	1,89	-7,3%	182,56	-7,4%	0,66	-7,4%
	Scenario 21	5,29	-15,5%	1,72	-15,5%	163,98	-16,9%	0,59	-16,9%
	Scenario 22	4,78	-23,7%	1,56	-23,7%	142,75	-27,6%	0,51	-27,6%



Figuur 58: Modelopstelling LMS Amesim

De ladingstoestand (SoC) van de batterij is 90% aan het begin van elke simulatie, aangezien we ervan uitgaan dat de batterij al vóór het begin van elke rit door het elektriciteitsnet is opgeladen, bijvoorbeeld via oplaadfaciliteiten in het depot, aan de terminal of aan een bushalte.

Om het energieverbruik onder verschillende rijomstandigheden te schatten, wordt het gesimuleerde voertuig volgens vier snelheidsprofielen gereden. De gebruikte rijcycli zijn de volgende met de volgorde die wordt weergegeven in Figuur 59:

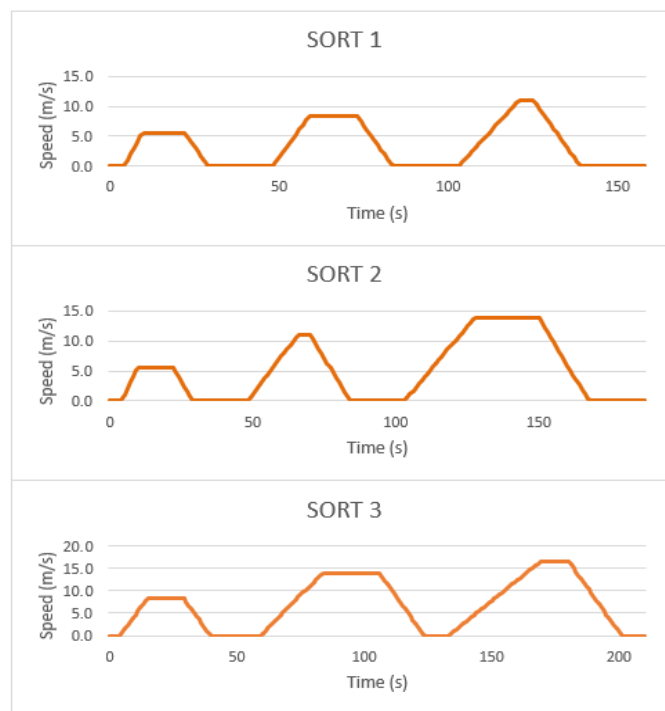
- De 'Braunschweig City Driving'-cyclus, een tijdelijke cyclus met haltes, handig voor het testen van stadsbussen,
- De 'VECTO Urban Delivery'-cyclus voor het testen van zware voertuigen in het VECTO-model, die stedelijke omstandigheden weergeeft,
- De 'VECTO Regional Delivery'-cyclus voor het testen van zware voertuigen, die staat voor extra stedelijke rijomstandigheden,
- De 'Manhattan'-cyclus, een tijdelijke cyclus met lage snelheden en stops, handig voor het testen van stadsbussen.
- NYC - een rollenbanktest voor zware voertuigen, representatief voor de werkelijke rijpatronen van transit-bussen in New York City
- OCC (Orange County Bus OC BUS Cycle) - een door de West Virginia University (WVU) ontwikkelde rollenbanktest voor zware voertuigen, gebaseerd op de rijpatronen van stadsbussen in Los Angeles, Californië.
- VTP VECTO

Het brandstofverbruik voor een gemiddelde snelheid van 29 km/u (gemiddelde snelheid gebruikt in personenauto's voor stedelijke omstandigheden) en UF 25% is 31,54 l/100km. Het overeenkomstige brandstofverbruik van de conventionele bus in Copert is 35,96l/100km. Daarom heeft het serie-hybride busmodel een lager brandstofverbruik met 12,3% in vergelijking met het overeenkomstige conventionele.

Deze analyse heeft een bijhorend van een Excel-bestand waarin de verbruiksresultaten automatisch veranderen afhankelijk van de gemiddelde snelheid en UF gekozen door de gebruiker.

4.4.4.3 Energetische analyse volgens de SORT cycli

Voor het testen van (hybride) bussen wordt in de praktijk vaak teruggегrepen naar de SORT-cycli van de *International Association of Public Transport* (UITP 2014), al moeten we hier de kanttekening bij maken dat dit eerder om 'instructiecycli' gaat die een gelijkaardig patroon hebben als de NEDC voor personenwagens. Voor stadsbussen, die typisch een snelheidsprofiel met veel starten en stoppen kennen, hoeft zo'n SORT cyclus echter niet noodzakelijk te betekenen dat ze een onderschatting van de realiteit is, al zullen de dynamischere profielen van de vier eerder besproken cycli een beter inzicht geven. De snelheidsprofielen en de belangrijkste kenmerken van SORT zijn samengevat in Figuur 63 tot Figuur 66. De testresultaten voor de ladingstoestand van de batterij (SoC) voor de drie cycli ziet men in Tabel 38.



Figuur 63 SORT driving cycles speed profiles

Tabel 38 Main characteristics of the SORT driving cycles

Cyclus	Duur (s)	Afstand (km)	Gemiddelde snelheid (km/u)
SORT 1	152 s	0,505 km	12,02
SORT 2	180 s	0,893 km	17,86
SORT 3	200 s	1,409 km	25,38

5 IMPACTANALYSE

Op basis van de monitoringscampagne en het simulatiewerk dat in de voorafgaande hoofdstukken werd toegelicht kunnen we een nieuwe kerndataset aan emissiefactoren (EF) afleiden voor plug-in personenwagens. Waar de focus voornamelijk ligt op klimaat – en dus de uitstoot van CO₂, werden er voor de plug-ins ook emissiefactoren doorgerekend voor de pollutanten koolstofmonoxide (CO), vluchtige organische stoffen (VOS, zijnde onverbrande koolwaterstoffen HC), stikstofoxiden (NO_x), koolstofmonoxide (CO) en uitlaat-gerelateerd fijnstof (PM). Ook presenteren we in dit hoofdstuk een herziening van het energieverbruik. Om de impact van deze nieuwe emissiefactoren na te kunnen gaan in het Vlaamse FASTRACE rekenmodel, wordt in het aan dit rapport toegevoegde rekenmodel gewerkt met instelbare snelheden voor wegtypes stedelijk, ruraal en snelweg. Daarnaast laat het model toe om de utiliteitsfactor, welke de verhouding is tussen het aandeel elektrisch gereden kilometers tot het totaal aantal kilometers per trip, per wegtype aan te passen. Op die manier kan de gebruiker van het model de impact nagaan van een verhoogde utiliteitsfactor, hetgeen opportuun is in het kader van een verdere reductie van CO₂ emissies door PHEV's. Het is belangrijk om weten dat de nieuwe emissiefactoren de situatie anno 2020 weergeven, en dus geen verdere technologische verbeteringen die kunnen leiden tot lagere emissies. Voorts houden de emissiefactoren die we hieronder presenteren rekening met een utiliteitsfactor van 50% voor stedelijk en ruraal rijden, en 20% voor snelwegtrips, hetgeen voortvloeit uit de SEMS meetcampagne besproken in hoofdstuk 3. De volgende vergelijking toont nogmaals de invloed van de utiliteitsfactor. Hierin is $EF_{CS\ modus}$ de oorspronkelijk berekende emissiefactor waarbij géén rekening werd gehouden met een aandeel elektrisch rijden, hetgeen overeenkomt met het rijden in CS modus. UF staat voor de utiliteitsfactor volgens het wegtype. De $EF_{CS\ modus}$ komt voort uit het simulatiewerk waarbij verschillende testcycli werden herhaald, en waarbij de SEMS data ter validatie van het eindresultaat werden gehanteerd.

$$EF_{U/R/H} = EF_{U/R/H,CS\ modus} \times (1 - UF_{U/R/H})$$

In het bestaande emissiemodel van FASTRACE wordt voor PHEV's verondersteld dat hun emissies 30% lager liggen dan een conventioneel voertuig uit hetzelfde segment (klein, medium, groot). Hierbij baseert men zich op de gemiddelde utiliteitsfactor van 30% volgens het grootschalig Nederlands monitoringsonderzoek dat in 2.3 'Rapport 2: Monitoring van PHEV's april 2012 t/m maart 2016 (TNO, 2016)' beschreven wordt. Voor de emissiefactoren die in dit rapport worden besproken zijn we, zoals hierboven vermeld, fijnmaziger te werk gegaan met een utiliteitsfactor per wegtype. Ook maken voor Euronorm 6 een onderverdeling. We onderscheiden:

- 'Euro 6 <2017' overeenkomt met Euro 6a, 6b en 6c;
- 'Euro 6 2017-19' met Euro 6d-TEMP, en;
- 'Euro 6d 2020+' met de huidige, meest recente emissienorm Euro 6d

Tabel 42: Relatieve CO₂ reductie voor PHEV's versus conventionele benzine- en dieseltechnologie

CO ₂ (g/km)		Conventioneel			PHEV			Rel. %		
		Urban	Rural	Highway	Urban	Rural	Highway	Urban	Rural	Highway
Benzine klein	Euro 6 <2017	180,59	137,01	153,90	68,93	51,24	130,00	-61,8%	-62,6%	-15,5%
	Euro 6 2017-19	180,59	137,01	153,90	68,93	51,24	130,00	-61,8%	-62,6%	-15,5%
	Euro 6 2020+	180,59	137,01	153,90	68,93	51,24	130,00	-61,8%	-62,6%	-15,5%
Benzine medium	Euro 6 <2017	211,30	167,11	176,49	78,08	56,49	147,71	-63,0%	-66,2%	-16,3%
	Euro 6 2017-19	211,30	167,11	176,49	78,08	56,49	147,71	-63,0%	-66,2%	-16,3%
	Euro 6 2020+	211,30	167,11	176,49	78,08	56,49	147,71	-63,0%	-66,2%	-16,3%
Benzine groot	Euro 6 <2017	311,76	225,20	208,04	92,01	66,92	175,25	-70,5%	-70,3%	-15,8%
	Euro 6 2017-19	311,76	225,20	208,04	92,01	66,92	175,25	-70,5%	-70,3%	-15,8%
	Euro 6 2020+	311,76	225,20	208,04	92,01	66,92	175,25	-70,5%	-70,3%	-15,8%
Diesel Groot	Euro 6 <2017	233,87	186,74	216,18	91,29	66,10	174,54	-61,0%	-64,6%	-19,3%
	Euro 6 2017-19	233,87	186,74	216,18	91,29	66,10	174,54	-61,0%	-64,6%	-19,3%
	Euro 6 2020+	233,87	186,74	216,18	91,29	66,10	174,54	-61,0%	-64,6%	-19,3%

5.2 STIKSTOFOXIDEN (NO_x)

Een belangrijk pollutant inzake lokale luchtkwaliteit is NO_x. Ook hier wordt zowel een update gegeven voor nieuwe emissiefactoren factoren voor PHEV's als een update voor de conventionele personenwagens. Tabel 43 toont ons de nieuwe NO_x emissiefactoren voor de plug-ins, waarvoor we onze bespreking kunnen beperken tot het grote dieselsegment, gezien de emissies voor benzinevarianten (volgens ons model) heel laag liggen. Wat opvalt is hoe men in FASTRACE te optimistisch omging met de NO_x uitstoot door Euro 6d-TEMP modellen, en dit voornamelijk tijdens snelwegtrips. Deze onderschatting is wellicht te verklaren aan de verwachtingen die niet werden ingelost, ondanks de invoering van de RDE-tests tijdens typegoedkeuring van nieuwe modellen sinds intrede van deze emissienorm. Desondanks deze misvatting voorzien we voor Euro 6d een minder sterke wijziging voor stedelijk en ruraal rijden, terwijl ook voor snelwegtrips de nieuwe emissiefactor beduidend hoger ligt. Algemeen wordt verwacht dat, met de invoering van Verordening 2018/858 voor de typegoedkeuring van nieuwe modellen, de werkelijke NO_x emissies steeds dichterbij de testwaarde zal komen te liggen. De reden hiervoor is dat bij intrede in september 2020 ook onafhankelijke instituten Euro 6d voertuigen mogen gaan testen in het kader van *in-service conformity* en markttoezicht. Hierdoor zullen de autoconstructeurs veel minder geneigd zijn om de emissiewetgeving te omzeilen met allerlei emissiestrategieën.

Tabel 43: Overzicht van de nieuwe NO_x emissiefactoren voor PHEV personenwagens

NO _x (g/km)		Huidige EFs			Nieuwe EFs			Rel. %		
		Urban	Rural	Highway	Urban	Rural	Highway	Urban	Rural	Highway
Benzine PHEV klein	Euro 6 <2017	0,076	0,018	0,008	0,003	0,007	0,013	-96,2%	-58,5%	56,7%
	Euro 6 2017-19	0,076	0,018	0,008	0,003	0,007	0,013	-96,2%	-58,5%	56,7%
	Euro 6 2020+	0,076	0,018	0,008	0,003	0,007	0,013	-96,2%	-58,5%	56,7%
Benzine PHEV medium	Euro 6 <2017	0,075	0,018	0,008	0,003	0,007	0,013	-96,1%	-58,3%	56,7%
	Euro 6 2017-19	0,075	0,018	0,008	0,003	0,007	0,013	-96,1%	-58,3%	56,7%
	Euro 6 2020+	0,075	0,018	0,008	0,003	0,007	0,013	-96,1%	-58,3%	56,7%
Benzine PHEV groot	Euro 6 <2017	0,063	0,018	0,008	0,003	0,007	0,013	-95,4%	-58,3%	56,7%
	Euro 6 2017-19	0,063	0,018	0,008	0,003	0,007	0,013	-95,4%	-58,3%	56,7%
	Euro 6 2020+	0,063	0,018	0,008	0,003	0,007	0,013	-95,4%	-58,3%	56,7%
Diesel PHEV groot	Euro 6 <2017	0,455	0,296	0,354	0,281	0,211	0,404	-38,1%	-28,7%	14,3%
	Euro 6 2017-19	0,150	0,098	0,117	0,215	0,161	0,309	43,4%	65,0%	164,6%
	Euro 6 2020+	0,107	0,070	0,083	0,104	0,078	0,150	-2,6%	12,1%	79,7%

5.4 VLUCHTIGE ORGANISCHE STOFFEN (VOS)

Voor wat betreft de uitstoot aan vluchtige organische stoffen, waaronder onverbrande koolwaterstoffen vallen, tonen Tabel 47 en Tabel 48 een nagenoeg complete terugval van de emissies door benzine PHEV's bij de herziening van de emissiefactoren. Voor diesel-PHEV's is deze terugval ook aanwezig, zij het in een lichtere vorm. Voor de conventionele voertuigen zijn het voornamelijk de benzinevoertuigen die tijdens stedelijk rijden eveneens een nagenoeg complete terugval laten optekenen, waar voor de andere wegtypes deze minder groot is. Merk op dat deze zeer lage emissies van VOS overeenstemmen met wat er tijdens RDE praktijktests wordt gemeten, hetgeen erop wijst dat deze uitstoot niet langer zorgwekkend is voor moderne (Euro 6) personenwagens.

Tabel 47: Overzicht van de VOS emissiefactoren voor PHEV personenwagens

VOS (g/km)		Huidige EFs			Nieuwe EFs			Rel. %		
		Urban	Rural	Highway	Urban	Rural	Highway	Urban	Rural	Highway
Benzine PHEV klein	Euro 6 <2017	0,2816	0,0134	0,0148	0,0006	0,0003	0,0008	-99,8%	-97,5%	-94,8%
	Euro 6 2017-19	0,2816	0,0134	0,0148	0,0006	0,0003	0,0008	-99,8%	-97,5%	-94,8%
	Euro 6 2020+	0,2816	0,0134	0,0148	0,0006	0,0003	0,0008	-99,8%	-97,5%	-94,8%
Benzine PHEV medium	Euro 6 <2017	0,2954	0,0110	0,0126	0,0006	0,0003	0,0008	-99,8%	-97,0%	-93,9%
	Euro 6 2017-19	0,2954	0,0110	0,0126	0,0006	0,0003	0,0008	-99,8%	-97,0%	-93,9%
	Euro 6 2020+	0,2954	0,0110	0,0126	0,0006	0,0003	0,0008	-99,8%	-97,0%	-93,9%
Benzine PHEV groot	Euro 6 <2017	0,2081	0,0085	0,0102	0,0006	0,0003	0,0008	-99,7%	-96,1%	-92,5%
	Euro 6 2017-19	0,2081	0,0085	0,0102	0,0006	0,0003	0,0008	-99,7%	-96,1%	-92,5%
	Euro 6 2020+	0,2081	0,0085	0,0102	0,0006	0,0003	0,0008	-99,7%	-96,1%	-92,5%
Diesel PHEV groot	Euro 6 <2017	0,0018	0,0006	0,0005	0,0006	0,0004	0,0005	-65,7%	-29,6%	14,2%
	Euro 6 2017-19	0,0018	0,0006	0,0005	0,0006	0,0004	0,0005	-65,7%	-29,6%	14,2%
	Euro 6 2020+	0,0018	0,0006	0,0005	0,0006	0,0004	0,0005	-65,7%	-29,6%	14,2%

Tabel 48: Overzicht van de VOS emissiefactoren voor conventionele personenwagens

VOS (g/km)		Huidige EFs			Nieuwe EFs			Rel. %		
		Urban	Rural	Highway	Urban	Rural	Highway	Urban	Rural	Highway
Benzine klein	Euro 6 <2017	0,4023	0,0191	0,0211	0,0070	0,0061	0,0091	-98,3%	-68,0%	-57,0%
	Euro 6 2017-19	0,4023	0,0191	0,0211	0,0074	0,0068	0,0104	-98,2%	-64,7%	-50,7%
	Euro 6 2020+	0,4023	0,0191	0,0211	0,0074	0,0068	0,0104	-98,2%	-64,7%	-50,7%
Benzine medium	Euro 6 <2017	0,4220	0,0157	0,0180	0,0070	0,0061	0,0091	-98,4%	-61,2%	-49,5%
	Euro 6 2017-19	0,4220	0,0157	0,0180	0,0074	0,0068	0,0104	-98,3%	-57,1%	-42,0%
	Euro 6 2020+	0,4220	0,0157	0,0180	0,0074	0,0068	0,0104	-98,3%	-57,1%	-42,0%
Benzine groot	Euro 6 <2017	0,2972	0,0121	0,0146	0,0070	0,0061	0,0091	-97,7%	-49,6%	-37,9%
	Euro 6 2017-19	0,2972	0,0121	0,0146	0,0074	0,0068	0,0104	-97,5%	-44,3%	-28,8%
	Euro 6 2020+	0,2972	0,0121	0,0146	0,0074	0,0068	0,0104	-97,5%	-44,3%	-28,8%
Diesel klein	Euro 6 <2017	0,0026	0,0009	0,0007	0,0012	0,0009	0,0007	-52,0%	-1,5%	0,0%
	Euro 6 2017-19	0,0026	0,0009	0,0007	0,0012	0,0009	0,0007	-52,0%	-1,5%	0,0%
	Euro 6 2020+	0,0026	0,0009	0,0007	0,0012	0,0009	0,0007	-52,0%	-1,5%	0,0%
Diesel medium	Euro 6 <2017	0,0026	0,0009	0,0007	0,0012	0,0009	0,0007	-52,0%	-1,5%	0,0%
	Euro 6 2017-19	0,0026	0,0009	0,0007	0,0012	0,0009	0,0007	-52,0%	-1,5%	0,0%
	Euro 6 2020+	0,0026	0,0009	0,0007	0,0012	0,0009	0,0007	-52,0%	-1,5%	0,0%
Diesel groot	Euro 6 <2017	0,0026	0,0009	0,0007	0,0012	0,0009	0,0007	-52,0%	-1,5%	0,0%
	Euro 6 2017-19	0,0026	0,0009	0,0007	0,0012	0,0009	0,0007	-52,0%	-1,5%	0,0%
	Euro 6 2020+	0,0026	0,0009	0,0007	0,0012	0,0009	0,0007	-52,0%	-1,5%	0,0%

5.6 ENERGIECONSUMPTIE

Tot slot bespreken we de herziening van de factoren voor energieconsumptie van PHEV's en conventionele personenwagens. Tabel 51 toont hoe over alle segmenten voor de gemiddelde PHEV's heen, het energieverbruik tijdens een snelwegrit werd onderschat met ongeveer 25%. Voor stedelijke en rurale trips tekenen we echter reducties op, welke voor de grote benzine PHEV's groter zijn dan 55%. Merk op dat voor PHEV's het energieverbruik de som is van de consumptie t.g.v. het brandstofverbruik en van het elektriciteitsverbruik. In geval van conventionele voertuigen vertegenwoordigt deze indicator enkel het brandstofverbruik. In Tabel 52 zien we de nieuwe factoren voor deze voertuigen, waarbij voornamelijk opvalt hoe kleine dieselwagens onderschat worden in het huidige FASTRACE model. Dit stemt overeen met wat we eerder zagen in Tabel 40.

Tabel 51: Overzicht van de nieuwe factoren voor energieverbruik voor gemiddelde PHEV's

FC + EC (MJ/km)		Huidige EFs			Nieuwe EFs			Rel. %		
		Urban	Rural	Highway	Urban	Rural	Highway	Urban	Rural	Highway
Benzine PHEV klein	Euro 6 <2017	2,52	1,49	1,64	1,22	0,96	2,03	-51,5%	-35,9%	24,1%
	Euro 6 2017-19	2,44	1,44	1,58	1,22	0,96	2,03	-49,9%	-33,7%	28,3%
	Euro 6 2020+	2,44	1,44	1,58	1,22	0,96	2,03	-49,9%	-33,7%	28,3%
Benzine PHEV medium	Euro 6 <2017	2,93	1,77	1,85	1,42	1,09	2,31	-51,6%	-38,8%	25,0%
	Euro 6 2017-19	2,83	1,71	1,79	1,42	1,09	2,31	-49,9%	-36,6%	29,4%
	Euro 6 2020+	2,83	1,71	1,79	1,42	1,09	2,31	-49,9%	-36,6%	29,4%
Benzine PHEV groot	Euro 6 <2017	4,06	2,32	2,14	1,71	1,31	2,72	-57,9%	-43,5%	26,7%
	Euro 6 2017-19	3,93	2,24	2,07	1,71	1,31	2,72	-56,5%	-41,6%	31,1%
	Euro 6 2020+	3,93	2,24	2,07	1,71	1,31	2,72	-56,5%	-41,6%	31,1%
Diesel PHEV groot	Euro 6 <2017	2,79	1,86	2,12	1,61	1,22	2,58	-42,4%	-34,5%	21,9%
	Euro 6 2017-19	2,69	1,80	2,05	1,61	1,22	2,58	-40,4%	-32,2%	26,1%
	Euro 6 2020+	2,69	1,80	2,05	1,61	1,22	2,58	-40,4%	-32,2%	26,1%

Tabel 52: Overzicht van de nieuwe factoren voor energieverbruik voor conventionele personenwagens

FC (MJ/km)		Huidige EFs			Nieuwe EFs			Rel. %		
		Urban	Rural	Highway	Urban	Rural	Highway	Urban	Rural	Highway
Benzine klein	Euro 6 <2017	3,39	1,89	2,10	2,58	1,96	2,20	-23,9%	3,6%	4,6%
	Euro 6 2017-19	3,21	1,79	1,99	2,58	1,96	2,20	-19,6%	9,4%	10,5%
	Euro 6 2020+	3,21	1,79	1,99	2,58	1,96	2,20	-19,6%	9,4%	10,5%
Benzine medium	Euro 6 <2017	3,99	2,30	2,41	3,02	2,39	2,52	-24,3%	3,8%	4,7%
	Euro 6 2017-19	3,78	2,18	2,28	3,02	2,39	2,52	-20,0%	9,7%	10,6%
	Euro 6 2020+	3,78	2,18	2,28	3,02	2,39	2,52	-20,0%	9,7%	10,6%
Benzine groot	Euro 6 <2017	5,65	3,10	2,84	4,46	3,22	2,97	-21,2%	3,9%	4,5%
	Euro 6 2017-19	5,34	2,93	2,69	4,46	3,22	2,97	-16,6%	9,9%	10,7%
	Euro 6 2020+	5,34	2,93	2,69	4,46	3,22	2,97	-16,6%	9,9%	10,7%
Diesel klein	Euro 6 <2017	1,76	1,29	1,60	2,34	1,91	2,05	33,2%	48,1%	28,7%
	Euro 6 2017-19	1,65	1,21	1,50	2,34	1,91	2,05	42,2%	58,1%	37,4%
	Euro 6 2020+	1,65	1,21	1,50	2,34	1,91	2,05	42,2%	58,1%	37,4%
Diesel medium	Euro 6 <2017	2,81	1,85	1,97	2,34	1,91	2,05	-16,8%	3,5%	4,1%
	Euro 6 2017-19	2,65	1,74	1,86	2,34	1,91	2,05	-11,6%	10,0%	10,6%
	Euro 6 2020+	2,65	1,74	1,86	2,34	1,91	2,05	-11,6%	10,0%	10,6%
Diesel groot	Euro 6 <2017	3,83	2,47	2,84	3,18	2,54	2,94	-17,1%	2,9%	3,4%
	Euro 6 2017-19	3,58	2,30	2,65	3,18	2,54	2,94	-11,2%	10,2%	10,7%
	Euro 6 2020+	3,58	2,30	2,65	3,18	2,54	2,94	-11,2%	10,2%	10,7%

5.8 VLOOTREDUCTIE NO_x

Ook voor stikstofdioxide rekenen we de impact van de nieuwe emissiefactoren, zowel voor PHEV's als conventionele dieselwagens, door voor de hele Vlaamse vloot. Tabel 62 en Tabel 63 tonen de totale NO_x-uitstoot van de Vlaamse dieselvloot over verschillende zichtjaren heen, en dit voor beide scenario's. Deze cijfers zijn gebaseerd op de nieuwe emissiefactoren uit Tabel 43 en Tabel 44, welke voornamelijk een hogere NO_x-uitstoot laten optekenen voor dieselwagens van emissieklasse Euro 6dTEMP ('Euro 6 2017-2019') en Euro 6d. Deze impact toont zich hieronder in de dieselvloottotalen waarbij het BEL scenario een progressieve uitfasering van de verkoop van dieselwagens weerspiegelt, alsook een vermindering van het aantal voertuigkilometers. Resultaten tonen aan dat, over de zichtjaren heen, 14% extra NO_x emissies zullen plaatsvinden volgens de nieuwe emissiefactoren. Gezien het BAU-scenario geen uitfasering van diesel voorziet, neemt de impact toe met de jaren. In het BEL-scenario is deze impact veel kleiner, over de zichtjaren heen slechts 1,3%.

Tabel 62 - Overzicht van de absolute NO_x emissiereductie voor de Vlaamse dieselwagenvloot volgens het BAU-scenario

NO _x (kg)		Huidige EFs	Nieuwe EFs	Delta %	Delta abs.
Totale diesel-wagenvloot Vlaanderen	2020	15,875,725.59	16,237,758.11	2.3%	362,032.52
	2025	8,621,407.25	9,506,457.32	10.3%	885,050.07
	2030	4,879,354.22	6,072,977.44	24.5%	1,193,623.22
	2035	3,474,485.02	4,769,896.44	37.3%	1,295,411.42
	2040	3,092,673.66	4,403,347.57	42.4%	1,310,673.91
	Totaal	35,943,645.74	40,990,436.88	14.0%	5,046,791.13

Tabel 63 - Overzicht van de absolute NO_x emissiereductie voor de Vlaamse dieselwagenvloot volgens het BEL-scenario

NO _x (kg)		Huidige EFs	Nieuwe EFs	Delta %	Delta abs.
Totale diesel-wagenvloot Vlaanderen	2020	15,621,820.48	15,399,698.96	-1.4%	- 222,121.52
	2025	7,766,094.56	7,983,053.94	2.8%	216,959.37
	2030	3,096,351.94	3,306,072.86	6.8%	209,720.92
	2035	1,177,223.26	1,293,347.64	9.9%	116,124.38
	2040	554,376.49	588,674.17	6.2%	34,297.68
	Totaal	28,215,866.73	28,570,847.57	1.3%	354,980.84

Gezien over de hele personenwagenvloot, en dus met inbegrip van de lichte wijzigingen voor de emissiefactoren voor niet-dieselwagens, ligt de impact van de nieuwe emissiefactoren iets lager. Dit bevestigt dat in het huidige Vlaamse wagenpark (zichtjaar 2020 in het BAU-scenario) de NO_x emissies gedomineerd worden door de dieselvloot.

Tabel 64: Overzicht van de absolute NO_x emissiereductie voor de Vlaamse personenwagenvloot volgens het BAU-scenario

NO _x (kg)		Huidige EFs	Nieuwe EFs	Delta %	Delta abs.
Totale personen-wagenvloot Vlaanderen	2020	17,172,180.63	17,534,213.15	2.1%	362,032.52
	2025	9,890,582.60	10,775,632.67	8.9%	885,050.07
	2030	6,123,828.46	7,317,451.68	19.5%	1,193,623.22

Tabel 68: Brandstof en elektrisch energieverbruik van gemiddelde PHEV's in RDE

RDE		Stad 1	Stad 2	Platteland	Snelweg	
	Mode	Gem. snelheid (km/h)	20,2	31,0	57,5	99,9
		Gem. snelheid over de modi (km/h)	57,0			
Kleine benzine	Charge sustaining	FC (l/100km)	10,4	5,5	5,2	6,0
	Charge sustaining	FC (MJ/km)	3,2	1,7	1,6	1,9
	Charge depleting	EI EC (Wh/km)	212,5	108,9	131,1	211,0
	Charge depleting	EI EC (MJ/km)	0,8	0,4	0,5	0,8
Medium gasoline	Charge sustaining	FC (l/100km)	11,6	5,8	5,6	6,4
	Charge sustaining	FC (MJ/km)	3,6	1,8	1,7	2,0
	Charge depleting	EI EC (Wh/km)	272,7	135,9	161,7	240,8
	Charge depleting	EI EC (MJ/km)	1,0	0,5	0,6	0,9
Grote benzine	Charge sustaining	FC (l/100km)	13,8	6,8	6,6	8,0
	Charge sustaining	FC (MJ/km)	4,3	2,1	2,0	2,5
	Charge depleting	EI EC (Wh/km)	354,6	177,5	207,5	255,7
	Charge depleting	EI EC (MJ/km)	1,3	0,6	0,7	0,9
Grote diesel	Charge sustaining	FC (l/100km)	12,0	5,9	6,0	7,0
	Charge sustaining	FC (MJ/km)	3,9	1,9	2,0	2,3
	Charge depleting	EI EC (Wh/km)	332,7	163,7	187,4	250,6
	Charge depleting	EI EC (MJ/km)	1,2	0,6	0,7	0,9

Tabel 69: Parameters in CS mode voor PHEV

PHEV Parameters CS mode		Alfa	Bèta	Gamma	Delta	Epsilon	Zita	Eta	RF
Kleine benzine	FC	4,27E-04	-5,50E-02	3,21E+00	0,00E+00	0,00E+00	0,00E+00	1,00E+00	0,00E+00
	NOx	-6,24E-05	1,08E-02	-1,66E-01	-3,98E-11	1,00E-14	-2,05E-12	1,66E+01	0,00E+00
	CO	-8,91E-07	2,76E-03	3,55E-01	3,44E+00	2,27E-03	1,88E-01	1,12E+00	0,00E+00
	HC	1,72E-06	-2,54E-04	1,26E-02	-8,33E-11	-1,17E-12	1,20E-10	5,72E+00	0,00E+00
	PM uitlaat	7,36E-07	-1,58E-04	9,28E-03	4,11E-02	2,69E-04	-7,79E-02	6,02E+00	0,00E+00
Medium benzine	FC	5,16E-04	-6,67E-02	3,73E+00	0,00E+00	0,00E+00	0,00E+00	1,00E+00	0,00E+00
	NOx	-6,24E-05	1,08E-02	-1,66E-01	-3,98E-11	1,00E-14	-2,05E-12	1,66E+01	0,00E+00
	CO	-8,91E-07	2,76E-03	3,55E-01	3,44E+00	2,27E-03	1,88E-01	1,12E+00	0,00E+00
	HC	1,72E-06	-2,54E-04	1,26E-02	-8,33E-11	-1,17E-12	1,20E-10	5,72E+00	0,00E+00
	PM uitlaat	7,36E-07	-1,58E-04	9,28E-03	4,11E-02	2,69E-04	-7,79E-02	6,02E+00	0,00E+00
Grote benzine	FC	6,06E-04	-7,81E-02	4,38E+00	0,00E+00	0,00E+00	0,00E+00	1,00E+00	0,00E+00
	NOx	-6,24E-05	1,08E-02	-1,66E-01	-3,98E-11	1,00E-14	-2,05E-12	1,66E+01	0,00E+00
	CO	-8,91E-07	2,76E-03	3,55E-01	3,44E+00	2,27E-03	1,88E-01	1,12E+00	0,00E+00
	HC	1,72E-06	-2,54E-04	1,26E-02	-8,33E-11	-1,17E-12	1,20E-10	5,72E+00	0,00E+00
	PM uitlaat	7,36E-07	-1,58E-04	9,28E-03	4,11E-02	2,69E-04	-7,79E-02	6,02E+00	0,00E+00
Grote diesel	FC	5,80E-04	-7,46E-02	4,16E+00	0,00E+00	0,00E+00	0,00E+00	1,00E+00	0,00E+00
	NOx	6,67E-05	-1,14E-02	9,46E-01	1,92E+00	-5,15E-05	4,26E-03	1,00E+00	3,71E-01
	CO	3,31E-05	-5,73E-03	2,82E-01	9,43E-01	3,54E-04	-7,05E-02	4,61E+00	0,00E+00
	HC	7,44E-04	3,65E-02	-5,08E-02	7,63E-02	1,57E+00	4,54E-01	3,08E-01	0,00E+00
	PM uitlaat	4,67E-04	6,64E-02	-3,25E-01	9,61E-01	1,14E+00	5,46E-01	2,90E-01	0,00E+00

